

скому излучению с  $E_{эфф} = 100$  кэв составляют  $0,7 \div \div 1,3 \cdot 10^{-9} \frac{a}{p \cdot \text{мин} \cdot \text{см}^2}$ . Для этих условий зависимость

$i = f(P_0)$  линейна в диапазоне 0,5—400 р.

Метод одновременного измерения двух величин может быть применен и для дозиметрии излучения с неизвестным спектром. Однако в этом случае (в отличие от рассмотренного) возможно появление ошибки в определении дозы, величина которой зависит от спектрального состава излучения. Максимально возможная ошибка определения  $P_0$  может быть оценена графически [5] с помощью рис. 4. Для рассматриваемого диапазона энергий она возникает при спектре излучения, состоящем из двух линий с энергиями кванта 40 и 10 кэв. Относительная ошибка  $\delta = \frac{P_{\text{макс}} - P_0}{P_0}$

определения  $P_0$  при этом не превышает 35%.

Можно показать, что максимальная ошибка при измерении экспозиционной дозы однородного излучения с помощью устройства [10], на выходе которого измеряется величина  $\alpha_1 i_1 \pm \alpha_2 i_2$ , больше или равна максимальной ошибке  $\delta$ , определенной по рис. 4.

При использовании изложенного метода ошибка обычно существенно меньше ошибки, определяемой с помощью рис. 4. Для однопараметрических спектров она равна нулю. Это позволяет надеяться, что изло-

женный метод одновременного измерения двух величин найдет широкое применение в дозиметрии.

Поступило в Редакцию 20/II 1970 г.

ЛИТЕРАТУРА

1. Х. Джонс. Физика радиологии. М., Атомиздат, 1965.
2. Г. В. Горшков. Проникающее излучение радиоактивных источников. Л., «Наука», 1967.
3. А. М. Гурвич и др. «Труды Всес. н.-и. ин-та медицинских инструментов и оборудования», № 5, 40 (1962).
4. Ю. К. Акимов и др. Полупроводниковые детекторы ядерных частиц и их применение. М., Атомиздат, 1967.
5. Н. Г. Волков, В. К. Ляпидевский. «Приборы и техника эксперимента», № 5, 86, (1968).
6. L. Hollander. Rev. Sci. Instrum., 28, 322 (1957).
7. N. Baily, G. Kramer. Radiation Res., 22, 53 (1964).
8. А. Н. Кронгауз и др. «Медицинская радиология», № 9, 78 (1970).
9. Ю. Б. Мандельцвайг, В. Г. Епишев. «Новости медицинской техники», № 2, 123 (1966).
10. С. П. Вершинина, А. Я. Берловский, Ю. А. Цирлин. «Атомная энергия», 24, 262 (1968).

## Ток протонов в режиме уменьшения равновесной фазы вдоль линейного ускорителя

А. Д. ВЛАСОВ

УДК 621.384.64.01

Вычисление протонных токов в линейном ускорителе при устойчивом и безразличном равновесии ускоряемых сгустков показало, что с увеличением равновесной фазы от 35—45° до 85—90° эти токи вырастают от сотен миллиампер примерно до 10 а [1, 2]. Однако увеличение равновесной фазы требует повышения ускоряющего поля и удлинения ускорителя и может быть допущено лишь на ограниченном участке. В настоящей работе рассматривается линейный ускоритель с равновесной фазой, равной в начале 85—90° и постепенно снижаемой вдоль ускорителя.

Изменение энергии частиц, равновесной фазы и других параметров вдоль ускорителя предполагается в данной работе настолько медленным, что сгустки при каждом значении энергии можно рассматривать в стационарном приближении. Состояния же сгустка при различных энергиях связываются между собой условиями его устойчивости и сохранения заряда, а также соответствующим законом изменения фазовой площади сгустка.

Ниже рассматриваются лишь пучки и сгустки постоянной плотности. Разумеется, разброс скоростей в инжектированном пучке во избежание заметных потерь частиц должен достаточно хорошо соответствовать распределению скоростей в рассматриваемых сгустках.

Потенциальная функция ускоряющего поля имеет вид

$$\Phi_0(\varphi) = \frac{\varphi \cos \varphi_{s0} - \sin \varphi}{\sin \varphi_{s0}},$$

где  $\varphi$  — фаза ускоряющей волны;  $\varphi_{s0} = \arccos(dW/eE_m dz)$  — номинальная равновесная фаза;

$e$  и  $W$  — заряд и энергия частицы;  $E_m$  — амплитуда ускоряющей волны;  $z$  — продольная координата.

Используя известную дисковую модель сгустка, представим его приближенно в виде цилиндра постоянного радиуса  $r$  с плотностью заряда  $\rho$  (в лабораторной системе координат), зависящей только от  $\varphi$ . Тогда потенциал собственного заряда сгустков, следующих один за другим с периодом  $\Delta z = \beta\lambda$ , выразится в виде [2]

$$U(\varphi) = aG \int_{\varphi_K}^{\varphi_{\Pi}} \left[ e^{-\frac{|\varphi - \varphi'|}{a}} + \frac{e^{-\frac{\varphi - \varphi'}{a}} + e^{-\frac{\varphi' - \varphi}{a}}}{\frac{2\pi}{e^{\frac{\varphi}{a}} - 1}} \right] \rho(\varphi') d\varphi'.$$

Здесь  $\varphi_K, \varphi_{\Pi}$  — границы сгустка;  $a = 2\pi r \sqrt{1 - \beta^2/k\beta\lambda}$  — его приведенный радиус;  $G = \beta\lambda/4\pi\epsilon_0 E_m \sin \varphi_{s0}$ ;  $\lambda$  — длина волны;  $\beta = v/c$ ;  $v$  — скорость частиц;  $c$  — скорость света;  $k$  — коэффициент порядка единицы и апертюры к величине  $\beta\lambda$ . Обозначим  $\varphi_{\Pi, K} = \varphi_{\Pi} \pm a\epsilon$ .

Положив  $\rho(\varphi) = \rho_0 = \text{const}$  и произведя интегрирование, выразим суммарный потенциал ускоряющего поля и поля сгустка в виде

$$\Phi(\varphi) = \Phi_0 + U = \frac{\varphi \cos \varphi_{s0} - \sin \varphi}{\sin \varphi_{s0}} - 2a^2 G \rho_0 \frac{\text{sh}\left(\frac{\pi}{a} - \epsilon\right)}{\text{sh}\frac{\pi}{a}} \text{ch}\frac{\varphi - \varphi_{\Pi}}{a} + \text{const.} \quad (1)$$



Запишем условие сохранения тока  $I$  и заряда сгустка  $Q = I\lambda/c$ :

$$\rho_0 \pi r^2 \cdot 2a\epsilon \frac{\beta\lambda}{2\pi} = \frac{I\lambda}{c} = \text{const.} \quad (2)$$

Подставим в равенство (1) выражение для  $G$  и  $\rho_0$  из условия (2):

$$\Phi(\varphi) = \frac{\varphi \cos \varphi_{s0} - \sin \varphi}{\sin \varphi_{s0}} - \frac{60a\lambda I}{E_m r^2 \sin \varphi_{s0}} \times \\ \times \frac{\text{sh} \left( \frac{\pi}{a} - \epsilon \right)}{\epsilon \text{sh} \frac{\pi}{a}} \text{ch} \frac{\varphi - \varphi_{\Pi}}{a} + \text{const.} \quad (3)$$

Для устойчивости фазовых колебаний необходимо, чтобы на задней границе сгустка  $\Phi'(\varphi_{\text{К}}) \leq 0$ , или с учетом выражения (3)

$$\cos \varphi_{s0} - \cos(\varphi_{\Pi} - a\epsilon) + \\ + \frac{60\lambda I}{E_m r^2} \cdot \frac{\text{sh} \left( \frac{\pi}{a} - \epsilon \right)}{\text{sh} \frac{\pi}{a}} \cdot \frac{\text{sh} \epsilon}{\epsilon} \leq 0. \quad (4)$$

Границы сгустка связаны также равенством  $\Phi(\varphi_{\text{К}}) = \Phi(\varphi_{\Pi})$ . Отсюда

$$\cos \varphi_{s0} = \frac{\sin a\epsilon}{a\epsilon} \cos \varphi_{\Pi}. \quad (5)$$

Площадь, занимаемую изображением сгустка на фазовой плоскости  $\varphi W$ , выразим в виде  $V \approx 0,7(\varphi_{\Pi} - \varphi_{\text{К}}) \times \times 2(W - W_{s\Pi})$ . Но

$$W - W_s = \frac{dW}{d\beta} \cdot \frac{\beta\lambda}{2\pi c} \dot{\varphi} = \\ = \frac{m_0 c \lambda}{\pi \sqrt{2}} \cdot \frac{\beta^2 \Omega_0}{(1 - \beta^2)^{3/2}} \sqrt{\Phi_{\text{К}} - \Phi(\varphi)},$$

где  $\Omega_0^2 = 2\pi e E_m (1 - \beta^2)^{3/2} \sin \varphi_{s0} / m_0 \lambda \beta$ ;  $m_0$  — масса покоя частицы;  $\Phi_{\text{К}} = \Phi(\varphi_{\text{К}}) = [\Phi(\varphi_{\text{К}}) + \Phi(\varphi_{\Pi})]/2$ . Таким образом,

$$V = 2,8a\epsilon \sqrt{\frac{e E_m \lambda \sin \varphi_{s0}}{\pi m_0^2 c^4}} p^{3/2} \sqrt{\Phi_{\text{К}} - \Phi(\varphi_{\Pi})}.$$

Здесь и далее  $p = m_0 c \beta \sqrt{1 - \beta^2}$  — импульс частицы;  $p_1 = p/p_H$ .

Как известно, фазовая площадь на плоскости  $\varphi W$  инвариантна, а эффективно занимаемая фазовая площадь под действием случайных малых погрешностей в ускорителе постепенно возрастает,  $V \sim \psi^2(p_1)$ . Вычислив  $\Phi_{\text{К}} - \Phi(\varphi_{\Pi})$  с помощью равенства (3), получим

$$\frac{V^2}{\psi^4} \sim \frac{a^2 \epsilon^2 E_m p^3}{\psi^4} \left[ (1 - \cos a\epsilon) \sin \varphi_{\Pi} - \right. \\ \left. - \frac{60\lambda I}{E_m r^2} \cdot \frac{a \text{sh} \left( \frac{\pi}{a} - \epsilon \right)}{\text{sh} \frac{\pi}{a}} \cdot \frac{\text{ch} \epsilon - 1}{\epsilon} \right] = \text{const.} \quad (6)$$

Пусть заданы законы изменения параметров вдоль ускорителя

$$\frac{V}{V_H} = \psi^2(p_1), \quad \frac{r}{r_H} = \chi(p_1), \quad \frac{E_m}{E_{mH}} = F(p_1), \quad \frac{k}{k_H} = f(p_1) \quad (7)$$

и обозначено

$$I_1 = \frac{\pi r_H^2 E_{mH}}{60\lambda}. \quad (8)$$

Тогда неравенство (4) и уравнение (6) с учетом (5) примут вид

$$\frac{I}{I_1} \cdot \frac{\pi a_H \text{sh} \epsilon \text{sh} \left( \frac{\pi}{a} - \epsilon \right)}{\alpha \epsilon \text{sh} \frac{\pi}{a} \sin a\epsilon \left[ \sin \varphi_{\Pi} - \left( \frac{1}{a\epsilon} - \text{ctg} a\epsilon \right) \cos \varphi_{\Pi} \right]} \leq \\ \leq \chi f F p_1, \quad (9)$$

$$p_1^2 F \frac{a^2 \epsilon^2}{\pi^2} (1 - \cos a\epsilon) \sin \varphi_{\Pi} -$$

$$- \frac{I a_H^2}{I_1 f} \cdot \frac{a\epsilon}{\pi} \cdot \frac{\text{sh} \left( \frac{\pi}{a} - \epsilon \right)}{\text{sh} \frac{\pi}{a}} (\text{ch} \epsilon - 1) = \frac{2C\psi^4}{p_1}. \quad (10)$$

Неравенство (9) и уравнение (10) определяют достижимый ток  $I$  (или  $I/I_1$ ) и постоянную  $C$  по начальным значениям  $a, a\epsilon, \varphi_{\Pi}$ .

Неравенство (9) и уравнения (5), (10) при фиксированном  $I/I_1$  определяют область разрешенных значений  $p_1, \varphi_{s0}$ , ограниченную снизу кривой  $\varphi_{s0} = \varphi_{s0}(p_1)$ , определяемой уравнениями (5), (9), (10). Тем самым определяются и разрешенные области  $p_1, a\epsilon$  и  $p_1, \varphi_{\Pi}$ . Предельные кривые удобнее вычислять, задаваясь значениями  $a\epsilon$  и находя  $\varphi_{\Pi}, p_1$  из системы уравнений (9), (10), а затем  $\varphi_{s0}$  из (5).

Обычно на большей части ускорителя  $\epsilon \geq 3, \frac{\pi}{a} - \epsilon \geq 1$ , так что

$$\frac{\text{sh} \epsilon}{\text{sh} \frac{\pi}{a}} \text{sh} \left( \frac{\pi}{a} - \epsilon \right) \approx \frac{\text{ch} \epsilon - 1}{\text{sh} \frac{\pi}{a}} \text{sh} \left( \frac{\pi}{a} - \epsilon \right) \approx \frac{1}{2}. \quad (11)$$

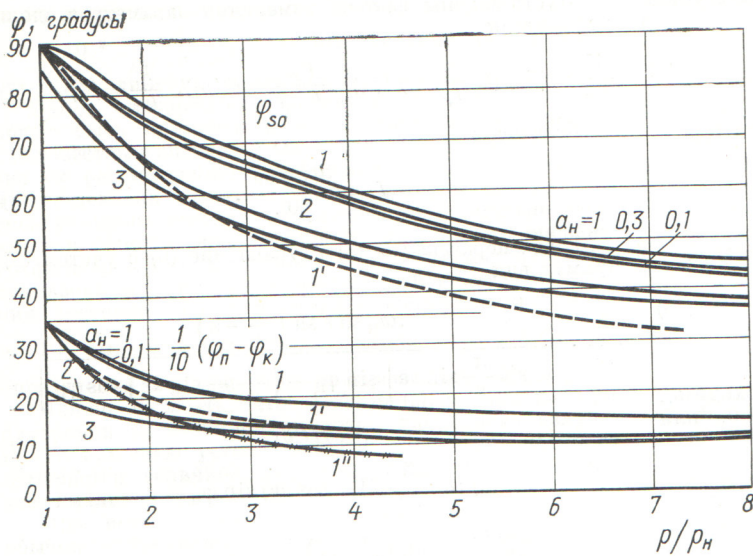
Ниже при расчете примерных предельных кривых принято

$$\psi = p_1^{1/4}, \quad \chi = p_1^{1/3}, \quad f = F = 1 \left( \frac{a}{a_H} = p_1^{-2/3} \right). \quad (12)$$

В случае справедливости равенств (11) и (12) расчет существенно упрощается.

Рассмотрим режим инжекции непрерывного одно-родного пучка. В таком пучке нет продольного расталкивания, и достижимый ток определяется лишь последующим процессом выделения сгустков. Чтобы свести потери частиц к минимуму, надо выбрать  $\varphi_{s0H} = 90^\circ$ . Тогда  $2(a\epsilon)_H = 360^\circ, \varphi_{\Pi H} = 90^\circ$  и из уравнений (9), (10) найдем  $I = I_1, C = 1$ . На рисунке приведены предельные кривые изменения равновесной фазы  $\varphi_{s0}$  и фазовой длины сгустка  $\varphi_{\Pi} - \varphi_{\text{К}} = 2a\epsilon$  вдоль ускорителя в зависимости от  $p_1$ , рассчитанные при  $a_H$ , равном 0,1; 0,3; 1,0 (кривые 1). Заметим, что для отечественных ускорителей И 2 и И-100  $a_H = 0,32$ , поскольку





Нижние границы разрешенных областей изменения равновесной фазы и фазовой длины сгустка для различных случаев.

ку  $r_H = 4,75$  мм,  $\beta_H = 0,0387$ ,  $\lambda = 2,02$  м,  $k = 1,2$ . Заметим также, что при  $W_H = 0,7$  Мэв значению  $p/r_H = 8$  соответствует  $W = 46$  Мэв. Для параметров ускорителя И-100 (в котором  $E_m = 1,58$  Мэв/м)  $I_1 = 0,92$  а. Этот ток мал по сравнению с током при безразличном начальном равновесии сгустков и  $\varphi_{s0} = 90^\circ$  [2]:

$$I_B \left( \frac{\pi}{2} \right) = \frac{\beta^2 E_m \lambda k^2 (1+a^2)}{240\pi},$$

который для ускорителя И-100 равен 10,4 а. В общем случае при  $\beta^2 \ll 1$

$$I_1 = \frac{a_H^2}{1+a_H^2} I_B \left( \frac{\pi}{2} \right) \quad (13)$$

Ток  $I_1$  становится близким к  $I_B(\pi/2)$  лишь при  $a_H > 1$ , т. е. при сравнительно больших приведенных радиусах пучка.

## Возможность ускорения в изохронном циклотроне протонов на энергию свыше $E_0$

Л. А. САРКИСЯН

В изохронных циклотронах с пространственной вариацией магнитного поля важную роль играют нелинейные эффекты, обусловленные периодичностью структуры магнитного поля  $N$ . Резонансные соотношения между частотами свободных бетатронных колебаний  $Q_r$  и  $Q_z$  и рабочей фокусирующей гармоникой поля периодичности  $N$  приводят к появлению идеальных нелинейных резонансов вида

$$pQ_r \pm qQ_z = N, \quad (1)$$

На рисунке приведены также кривые  $1'$ , рассчитанные при  $a_n = 0,3$  для того же режима, что и кривые  $1$ , но при  $\psi \equiv 1$ . Как видно, погрешности в ускорителе уменьшают разрешенные области

Относительная малость тока, выражаемого равенством (13), при инжекции непрерывного пучка обусловлена сравнительно большой длиной образующихся сгустков, близкой к длине сепаратрисы. Как известно, в случае сгустков постоянной плотности максимум тока достигается при меньшей их длине [1].

Уравнения (5) и (9) позволяют построить кривую  $I = I(a_n \epsilon_n)$  и найти максимум  $I$ . Пусть, например,  $a_n = 0,3$ . Тогда для значений  $\varphi_{s0} = 90$  и  $85^\circ$  найдем соответственно  $(I/I_1)_{\max} = 3,86$  и  $3,16$  при  $(a\epsilon_n) = 117$  и  $106^\circ$ . Если  $I_1 = 0,92$  а, то  $I = 3,5$  и  $2,9$  а. Из уравнения (10) найдем  $C = 0,251$  и  $0,176$  и построим предельные кривые 2 и 3.

При расчете ускорителя с некоторым заданным законом изменения равновесной фазы (или связанного с ней параметра) этот заданный закон заменяет уравнение (9) и совместно с уравнениями (5) и (10) составляет исходную систему уравнений. Допустимость того или иного закона изменения параметров нетрудно оценить, сравнивая его с предельными кривыми. Так, предположенное в работе [3] постоянство длины сгустка  $(\varphi_n - \varphi_k)\beta\lambda/2\pi$  при равенствах (12) неосуществимо, так как кривая  $a\epsilon\beta = \text{const}$  (кривая  $1''$ ) лежит ниже кривой  $I$ . В то же время сразу видна допустимость постоянства равновесной фазы  $\varphi_{s0} = \varphi_{s0} = \text{const}$ , как и постоянства фазовой длины сгустков  $\varphi_n - \varphi_k = 2(a\epsilon)_n = \text{const}$ .

Параметры, рассчитанные выше при  $\varphi_{s0} = 90^\circ$ , надо рассматривать лишь как теоретические пределы. На практике всегда  $\varphi_{s0} < 90^\circ$ .

Поступило в Редакцию 25/V 1970 г.

### ЛИТЕРАТУРА

1. А. Д. Власов. «Атомная энергия», 27, 238 (1969).
2. А. Д. Власов. «Атомная энергия», 29, 141 (1970).
3. И. М. Капчинский, В. А. Тепляков. «Приборы и техника эксперимента», № 4, 17 (1970).

УДК 621.384.633

где  $p, q = 0, 1, 2 \dots$ ;  $|p + q|$  определяет порядок резонанса.

Наиболее опасны радиальные нелинейные резонансы ( $q = 0$ ), так как они имеют меньший порядок. Как известно, в изохронных циклотронах в процессе ускорения частота радиальных бетатронных колебаний  $Q_r$  растет, проходя ряд резонансных значений  $Q_r = N/p$ . Наименьшее значение  $Q_r = 1$  имеет место в центре ускорителя со сплошной структурой (в кольцевых циклотронах  $Q_r$  несколько больше 1 и определяется